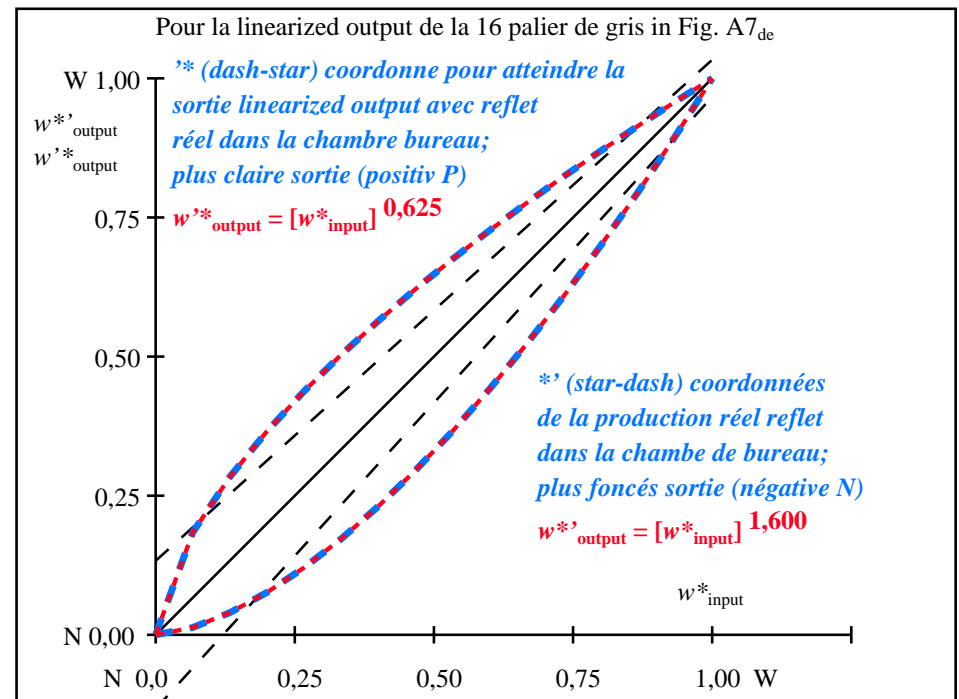


voir fichiers similaires: <http://farbe.li.tu-berlin.de/AF16/AF16F0NX.PDF> /PS; linéarisation 3D, page 18/24
F: linéarisation 3D AF16/AF16LF0NX.PDF /.PS dans fichier (F)

| i | LAB* _{ref} | L* _{out} | LAB* _{out} | LAB* _{out-ref} | ΔE* | la sortie S1 |
|----|---------------------|-------------------|---------------------|-------------------------|-------|---|
| 1 | 37,98 0,00 0,00 | 0,00 | 37,98 0,00 0,00 | 0,00 0,00 0,00 | 0,01 | Selon la spécification à la |
| 2 | 41,81 0,00 0,00 | 0,00 | 38,32 0,00 0,00 | -3, 0,00 0,00 | 3,49 | ISO/IEC 15775 Annexe G |
| 3 | 45,64 0,00 0,00 | 0,02 | 39,23 0,00 0,00 | -6, 0,00 0,00 | 6,40 | et DIN 33866-1 Annexe G |
| 4 | 49,47 0,00 0,00 | 0,04 | 40,68 0,00 0,00 | -8, 0,00 0,00 | 8,78 | |
| 5 | 53,29 0,00 0,00 | 0,08 | 42,64 0,00 0,00 | -10, 0,00 0,00 | 10,65 | |
| 6 | 57,12 0,00 0,00 | 0,12 | 45,10 0,00 0,00 | -12, 0,00 0,00 | 12,02 | |
| 7 | 60,95 0,00 0,00 | 0,17 | 48,05 0,00 0,00 | -12, 0,00 0,00 | 12,90 | |
| 8 | 64,78 0,00 0,00 | 0,23 | 51,48 0,00 0,00 | -13, 0,00 0,00 | 13,30 | |
| 9 | 68,61 0,00 0,00 | 0,30 | 55,37 0,00 0,00 | -13, 0,00 0,00 | 13,23 | |
| 10 | 72,44 0,00 0,00 | 0,37 | 59,74 0,00 0,00 | -12, 0,00 0,00 | 12,69 | |
| 11 | 76,26 0,00 0,00 | 0,46 | 64,56 0,00 0,00 | -11, 0,00 0,00 | 11,70 | |
| 12 | 80,09 0,00 0,00 | 0,55 | 69,83 0,00 0,00 | -10, 0,00 0,00 | 10,25 | |
| 13 | 83,92 0,00 0,00 | 0,65 | 75,56 0,00 0,00 | -8, 0,00 0,00 | 8,35 | |
| 14 | 87,75 0,00 0,00 | 0,76 | 81,73 0,00 0,00 | -6, 0,00 0,00 | 6,01 | Difference moyenne de clarté |
| 15 | 91,58 0,00 0,00 | 0,87 | 88,35 0,00 0,00 | -3, 0,00 0,00 | 3,22 | (16 palier) |
| 16 | 95,41 0,00 0,00 | 1,00 | 95,41 0,00 0,00 | 0,00 0,00 0,00 | 0,01 | ΔE*_{CIELAB} = 8,3 |
| 17 | 37,98 0,00 0,00 | 0,00 | 37,98 0,00 0,00 | 0,00 0,00 0,00 | 0,01 | |
| 18 | 52,34 0,00 0,00 | 0,07 | 42,10 0,00 0,00 | -10, 0,00 0,00 | 10,23 | |
| 19 | 66,69 0,00 0,00 | 0,26 | 53,37 0,00 0,00 | -13, 0,00 0,00 | 13,32 | Difference moyenne de clarté |
| 20 | 81,05 0,00 0,00 | 0,57 | 71,22 0,00 0,00 | -9, 0,00 0,00 | 9,82 | (5 palier) |
| 21 | 95,41 0,00 0,00 | 1,00 | 95,41 0,00 0,00 | 0,00 0,00 0,00 | 0,01 | ΔL*_{CIELAB} = 6,6 |
| | | | | | | Moyenne de l'indice de reproduction de couleur: R*_{ab,m} = 63,5 |

la part 1,

AF160-3de: 110402



la part 2,

AF161-3de: 110402

| L*/Y _{destiné} (absolu) | 37,9/10,0 | 41,8/12,3 | 45,6/15,0 | 49,4/17,9 | 53,2/21,3 | 57,1/25,0 | 60,9/29,1 | 64,7/33,7 | 68,6/38,8 | 72,4/44,3 | 76,2/50,3 | 80,0/56,8 | 83,9/63,9 | 87,7/71,5 | 91,5/79,7 | 95,4/88,5 |
|-------------------------------------|-----------|-----------|-----------|-----------|-----------|-----------|-----------|-----------|-----------|-----------|-----------|-----------|-----------|-----------|-----------|-----------|
| 0 0 0 n* setcmyk | | | | | | | | | | | | | | | | |
| gN=1,600 No et code Hex | 00;F | 01;E | 02;D | 03;C | 04;B | 05;A | 06;9 | 07;8 | 08;7 | 09;6 | 10;5 | 11;4 | 12;3 | 13;2 | 14;1 | 15;0 |
| W* = L* CIELAB, r (relative) | | | | | | | | | | | | | | | | |
| W* _{destiné} | 0,000 | 0,067 | 0,133 | 0,200 | 0,267 | 0,333 | 0,400 | 0,467 | 0,533 | 0,600 | 0,667 | 0,733 | 0,800 | 0,867 | 0,933 | 1,000 |
| W* _{sortie} | 0,000 | 0,013 | 0,039 | 0,076 | 0,120 | 0,172 | 0,230 | 0,295 | 0,365 | 0,441 | 0,523 | 0,608 | 0,699 | 0,795 | 0,894 | 1,000 |

la part 3, Fig. A7_{de}: 16 paliers de gris L* à équidistance; PS opérateur : 0 0 0 n* setcmykcolor

AF160-7de: 110402

In-out: Graphique AF16 conforme à graphique 4 à ISO/IEC 15775
Y contraste visible $Y_W:Y_N=88,9:10$; Y_N -gamme 7,5 to <15

entrée : rgb/cmy0/000n/w set...
sortie : ->rgb_{de} setrgbcolor

TUB enregistrement: 20190301-AF16/AF16L0FA.TXT /.PS
application pour la mesure de sortie d'affichage et d'impression
TUB matériel: code=th4ta